

## ٧- كيف تبني "روبوت" حقيقي؟

### المشفرات الضوئية.. ومستشعرات ظاهرة «هول»

د. علاء خميس

كلية هندسة البترول - جامعة قناة السويس

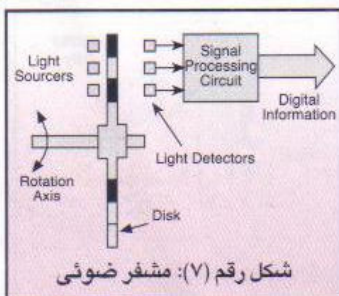
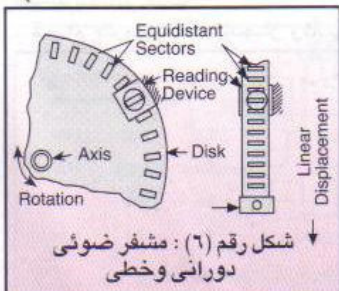
COMPUTERS	ROBOTS
Input symbols are static and well behaved	Sensory signals are noisy and unreliable
Operations give consistent results	An action can have different responses
Environment is fixed and repeatable	Objects may move about independently
System only receives intended inputs	Influences from external agent can interfere
Perfect Performance assumed for computing environment	Operating environment is unreliable, dynamic and incomplete

شكل رقم (٢): التباين بين الروبوت والحاسب

٣ بها عيوب أجزاء تم رفضها.. وواحد به أخطاء تجميع تم تعديله.. وآخر به عيوب غير محددة في مرحلة التجميع ٢١. تقرير التشخيص يشرح الأسباب المحتملة.

- المشرف: شرح عيوب التجميع.  
- الروبوت: صندوق التروس رقم ١٣ فشل في اختبار الدوران الحر في مرحلة التجميع ١٧. انزلاق بسيط تم اكتشافه في الصندوق ٣.

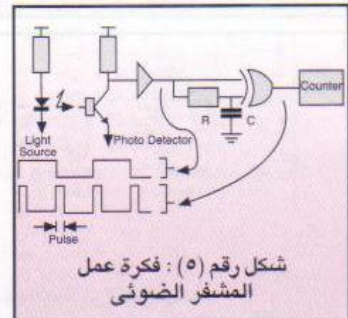
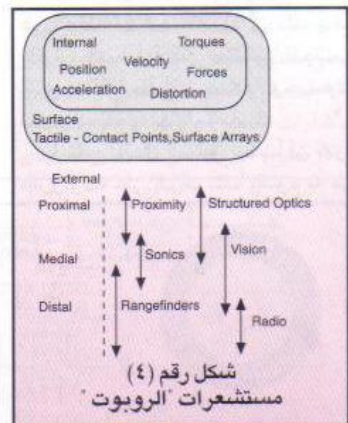
- المشرف: إظهار تقرير الأداء للنوع A.  
- الروبوت: مدة استخدام الحاسب خلال التجميع ٥٢٪ - مستوى نشاط المستشعرات ٣٤٪ - مدة التغذية الخارجية ٧٪ - مدة معالجة الأخطاء ٩٪.  
- المشرف: طلب مواصفات مضخة من النوع Q.  
- الروبوت: استقبال بيانات من حاسب



برمجتها.. إلا أنه من الصعب اعتبارها «روبوتات» ذكية.. لأن ما تقوم به هذه «الروبوتات» في حقيقة الأمر لا يتعدى أداء مهام محددة بدقة وبدرجة تكرارية عالية وبسرعة.. ولكنها تفتقد القدرة على التفاعل مع بيئة العمل. على أنه يمكن إكساب هذه «الروبوتات» درجات معينة من الذكاء باستخدام منظومات الاستشعار وتقنيات الذكاء الاصطناعي. فبتزويد.. إذ يمكن إكساب «روبوت» اللحام بالقوس مثلاً بمستشعرات تتبع عدم الانتظام في حواف وصلات اللحام بتزويد قدرًا من الذكاء يساعده على التغلب على مشكلة عدم انتظام الأسطح بتصحيح وضع أداة اللحام حسب حالة السطح. وفي المستقبل.. ومع تطور تقنيات الذكاء الاصطناعي ومنظومات الإدراك.. سوف تكتسب «الروبوتات» القدرة على إدراك ما تقوم به من أعمال مما سيسكبها القدرة على التفاعل المنظم مع المشرف البشري في مواقع الإنتاج.

دعونا نخيل ما يمكن أن يحدث بين «روبوت» تجميع ذكي ومشرف بشري في أحد مصانع الغد المؤتمتة كلياً - شكل رقم (٣) - من خلال محادثة صوتية أو نوافذ تفاعلية..

- المشرف: ما عدد صناديق التروس التي تم تجميعها؟  
- الروبوت: تم قبول ٢٦ بالاختبار منها



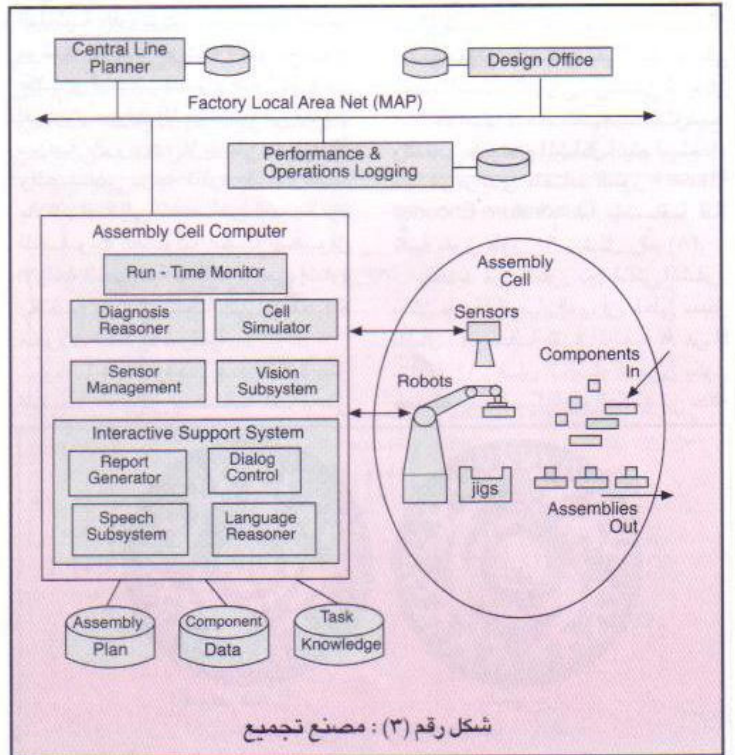
شكل رقم (١): الروبوت ER2

وغير قابلة للمحاكاة. وسوف يقع على عاتق مصممي المنظومات «الروبوتية» أيضاً ضرورة التلاحم بين «روبوتاتهم» وشبكات المعلومات المختلفة المحلية وربما الخارجية عند الحاجة.

وبالإضافة إلى قدرة «الروبوت» على تناول الأغراض المادية.. فإنه يجب أن يكون قابلاً لإعادة البرمجة لأداء مهام مختلفة.. وأن تكون له القدرة على التفاعل مع البيئة المحيطة واتخاذ قرارات قائمة على الاستجابة لتغيرات هذه البيئة والمستجدات التي قد تعترض تنفيذه للمهام الموكلة إليه. وإذا تحققت تلك السمات في «الروبوت».. يمكن عندئذ وصفه «بالروبوت» الذكي. فعلى الرغم من أن معظم «روبوتات» الطلاء واللحام في مصانع السيارات يمكن إعادة

يرى كثير من الباحثين والمتخصصين في مجال «الروبوتية».. أنه خلال القرن الواحد والعشرين.. سوف تكتسب المنظومات «الروبوتية» الذكية نفس الأهمية التي تتمتع بها الآن منظومات الحاسب الآلي.. وسوف تكون المعرفة «بالروبوتية» لازمة للبقاء الاقتصادي ولضمان المنافسة ضمن متطلبات المعرفة الحالية بمنظومات المعلومات.. وهو ما دفع كثير من الشركات للتنافس لنيل السبق في مجال إنتاج منظومات «الروبوت» الذكية مثل «الروبوتات» الشخصية القادرة على التفاعل مع المستخدم البشري والتي يتوقع أن تحل محل الحاسبات المنزلية التقليدية في هذا القرن مثل «الروبوت» ER2 - شكل رقم (١) - الذي تقوم بتطويره شركة Evolution Robotics.

ونظراً للتباين الكبير بين طبيعة آلة مثل الحاسب الآلي و«الروبوت» - شكل رقم (٢) - فإن المهمة الملقاة على عاتق مصممي المنظومات «الروبوتية» أصعب بكثير من مهمة مصممي المنظومات الحاسوبية. ففي حين تقتصر قدرة الحاسب الآلي على إجراء عمليات رمزية في عالم معالجة المعلومات الخاص به.. نجد أن للروبوت قدرة على أداء مهام عديدة في عالمنا المادي تتطلب منه القدرة على التفاعل مع بيئة حقيقية ديناميكية





إرسال شعاع ضوئي من خلال مصدر ضوئي مثل «دايود» ضوئي واستقباله بواسطة وحدة استقبال مثل مقاومة ضوئية - شكل رقم (٥). ولقياس زاوية الدوران.. يتم حساب عدد النبضات باستخدام عداد نبضات. ويمكن استخدام هذا المشفر في قياس الإزاحة الدورانية أو الخطية - شكل رقم (٦).

ويعيب هذا النوع من المشفرات.. عدم القدرة على تحديد اتجاه الحركة.. لذا.. يتم تثبيت قرص بعامل الإدارة يحتوي على خلايا شفافة وأخرى معتممة بين وحدت الإرسال والاستقبال - شكل رقم (٧).

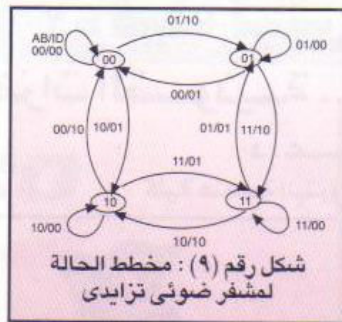
يمكن تقسيم هذا النوع من المشفرات إلى مشفرات تزايدية أو نسبية Incremental Encoders يمكن استخدامها في قياس السرعة الدورانية ومنها يمكن حساب الموضع النسبي.. ومشفرات مطلقة Absolute Encoders تقوم بقياس الموضع الزاوي المطلق ومنه يتم حساب السرعة.

### المشفرات الضوئية التزايدية

#### Incremental Optical Encoders

يعتبر مشفر «التاكو» أحادي القناة Single Channel Tachometer من أبسط أنواع المشفرات التزايدية.. حيث يستخدم قاطع ضوئي متناوب Chop-per في توليد عدد من موجات جيب الزاوية أو نبضات موجات مربعة مع كل دورة لعامل الإدارة. وبزيادة عدد النبضات.. تزداد الدقة وبالتالي تكلفة الوحدة. وعادة ما يتم استخدام هذه المشفرات كمستشعرات تغذية مرتدة في منظومات التحكم متوسط أو عالي السرعة.. حيث يتعرض المستشعر لمشاكل الضوضاء وعدم الاتزان في حالة السرعات المنخفضة.. كما أن مستشعرات «التاكو» غير قادرة على تحديد اتجاه الدوران.. وبالتالي لا يمكن استخدامها كمستشعرات موضع. وللتغلب على هذه المشاكل.. يتم استخدام مشفر تزايدى متعامد الطور - Phase Quadrature Encoder بإضافة قناة ثانية بفرق طور ٩٠ - شكل رقم (٨).

بتحديد فرق الطور بين قناتي المشفر.. يمكن معرفة اتجاه الدوران. فعلى سبيل المثال.. في حالة تقدم الوجه A عن B بزاوية ٩٠.. فإن اتجاه الدوران يكون ضد عقارب الساعة.. والعكس في حالة



أعمال والتفاعل مع البيئة المحيطة.. سيكون أهم ما يميز «روبوتات» المستقبل الذكية. وأول خطوات التفاعل مع البيئة - كما ذكرنا في المقالات السابقة - هو الاستشعار باستخدام منظومات الاستشعار. وقد تم تقسيم المستشعرات (المجسات) إلى نوعين أساسيين حسب المعلومات التي يوفرها المستشعر.. وهما مستشعرات الحالة الداخلية.. ومستشعرات الحالة الخارجية. على أنه يمكن إضافة نوع ثالث يمثل مستشعرات الحالة السطحية التي تعنى باستشعار حالة التلامس مع الأغراض المحيطة وحالات التصادم - شكل رقم (٤).

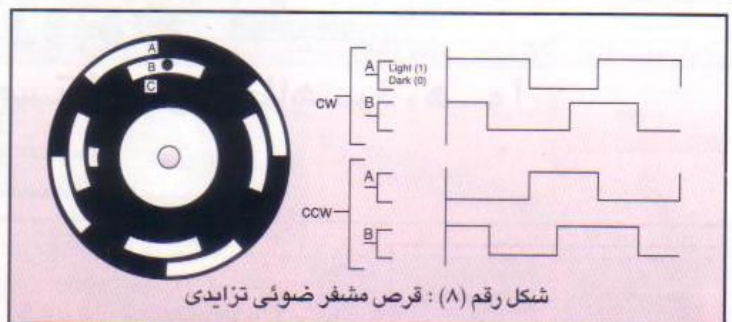
وفي المقال السابق.. تناولنا نوعين من مستشعرات الحالة الداخلية.. وفي هذا العدد نتناول نوعين آخرين.. هما المشفرات الضوئية ومستشعرات ظاهرة «هول».. وسيتم التركيز على الأولي باعتبارها الأكثر استخداماً لقياس سرعة «الروبوت».

### المشفرات الضوئية

#### Optical Encoders

تعتبر المشفرات الضوئية من مستشعرات (مجسات) الحالة الداخلية التي تعنى بدراسة ومعرفة الحالة الداخلية «للروبوت».. من حيث تقدير موضعه واتجاه حركته وسرعته.. إلخ. يكثر استخدام هذا النوع من المستشعرات (المجسات) في تعيين سرعة «الروبوت» لما يتمتع به من دقة وانخفاض درجة تأثيره بالضوضاء بالإضافة إلى انخفاض ثمنه. تقوم المشفرات الضوئية أيضاً بتحويل الإزاحة الدورانية مباشرة إلى إشارة رقمية دون الحاجة إلى استخدام محولات تناظرية - رقمية.

وكما هو معروف.. فإن فكرة عمل المشفر الضوئي ببساطة تقوم على



المهام التي تتسم بالخطورة والإجهاد والتكرارية.

- زيادة فرص العمل بسبب الصناعات التي تستخدم منظومات الأتمتة و«الروبوتية» كحالة مشابهة للازدهار الكبير لسوق العمل الذي أحدثه الانتشار الواسع للحاسبات مع توقع بعض المشاكل المؤقتة إذا لم تقم القوى العاملة بالتهيؤ لمهارات العمل الجديدة.

- زيادة الإنتاجية نتيجة لاستخدام «الروبوتات» مما سيؤدي إلى اختصار ساعات العمل الأسبوعية مصحوباً بزيادة الدخل وتحسين ظروف العمل. وبالتالي فتح أسواق جديدة.

وكما ذكرنا في مقال سابق - العدد رقم ٦٧ - فإن الدول الأكثر استخداماً للمنظومات «الروبوتية» تنخفض بها معدلات البطالة عن باقي الدول.. وهو ما يثبت خطأ الدعوى بأن «الروبوت» له تأثيرات سلبية مثل تسريع العمال وتعرضهم للبطالة.. لأن هذه الدول استطاعت تحويل «الروبوت» إلى مصدر لطلب الأيدي العاملة عن طريق استحداث صناعة متخصصة في مختلف مجالات الإنتاج. ومع أن استخدام «الروبوت» يقلص الأيدي العاملة المباشرة المستخدمة في الصناعات الحديثة.. إلا أن ذلك يدفع بالموارد البشرية التي يمتلكها المجتمع للتوجه لأنشطة اقتصادية وخدمية أخرى يحتاجها مجتمعاً ماساً.

يوضح المثال السابق أيضاً أن قدرة «الروبوت» على إدراك ما يقوم به من

مكتب التصميم رقم ٣.  
- المشفر: اللوح الدوار BQ7 تم إعطاؤه اسم مؤقت BQ9 في مواصفات المضخة.

- الروبوت: تم تعديل اسم الجزء BQ7 إلى BQ9 للمضخة من النوع Q.

- المشفر: استعداد لتجميع دفعة من المضخات من النوع Q.

- الروبوت: بالتزامن مع دفعات صناديق التروس.

- المشفر: لا

- الروبوت: طلب واستقبال خطة التجميع من المخطط المركزي. إعادة تهيئة خلايا العمل وتغيير القوابض.

برجاء إدخال أسماء المغذيات.

- المشفر: نقطة التغذية C والخروج من البوابة A وطرود التجميع من البوابة B وطرود الأجزاء من البوابة D.

- الروبوت: لم يتم اكتشاف أى تعارض.

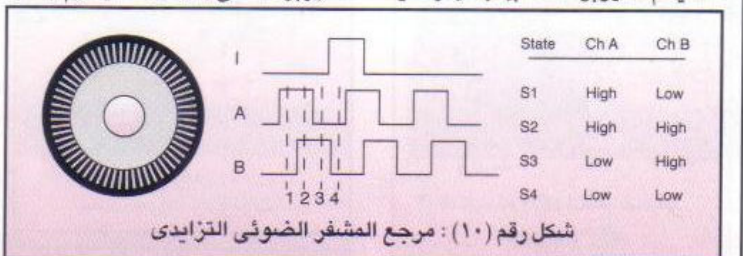
- المشفر: بدء التجميع.

- الروبوت: جاهز..

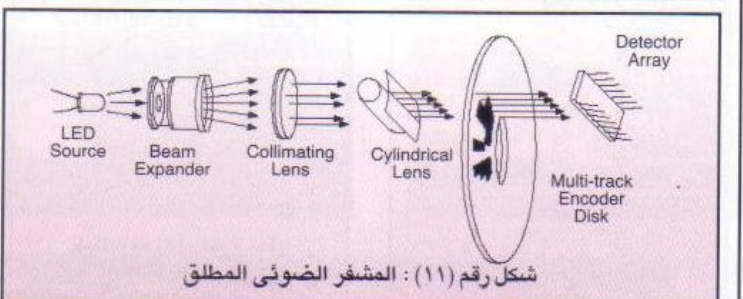
يعطى هذا المثال تصوراً للشكل الذي سوف تكون عليه «روبوتات» المستقبل الذكية والقدرات التي سوف تكتسبها.

والتي عن طريقها سوف يصبح دور «الروبوت» رئيسياً في المجتمع. وسيقبل تدريجياً التخوف من استخدام المنظومات «الروبوتية» بالفهم والإدراك المتزايد للحقائق التالية:

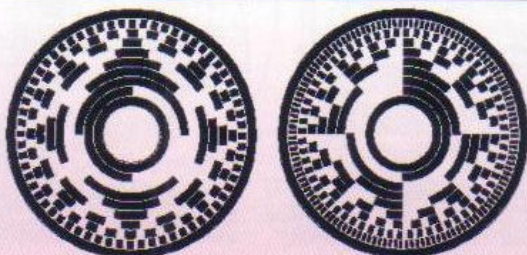
- قيام «الروبوتات» بإنجاز وتأدية



شكل رقم (١٠): مرجع المشفر الضوئي التزايدى



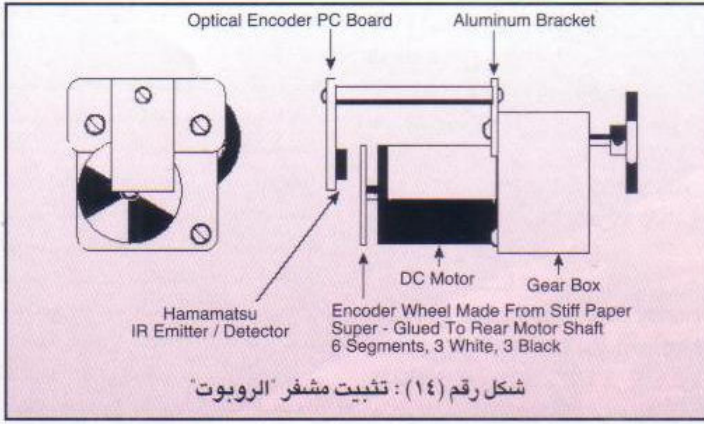
شكل رقم (١١): المشفر الضوئي المطلق



أ: التشفير الثنائى ب: تشفير جبرائى

شكل رقم (١٢): طرق التشفير





شكل رقم (١٤) : تثبيت مشفر الروبوت

الذي يحتاج إلى ٦ وصلات فقط.  
**قراءة خرج المشفر**

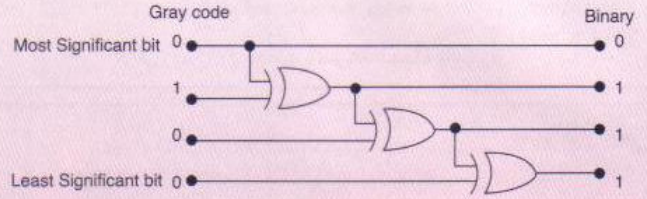
لقياس سرعة «الروبوت».. يمكن استخدام مشفر ضوئي في صورة عاكس ضوئي Photorelector يحتوي على «دايود» Infrared Diode به وحدتا إرسال واستقبال وقرص به خلايا معتمة وأخرى شفافة.. ويتم تثبيته في عامود إدارة المحرك.. ويوضع «الدايود» الضوئي في مواجهة القرص - شكل رقم (١٤).. يمكن شراء المشفر الضوئي كوحدة مستقلة أو وحدة مكملة للمحرك الكهربى.

ستعرض - كمثال - كيفية قراءة خرج المشفر الضوئي "Hamamatsu P5587s" وهو عاكس ضوئي يحتوي على وحدات لتكبير وتهئية إشارة خرج المشفر. باستخدام معالج دقيق مثل "Motorola MC68HC 11A0" - شكل رقم (١٥) - نجد أنه يحتوى على خمس موانئ حيث يحتوى الميناء A على العداد الزمنى للمعالج والذي يتم توصيل المشفر به ليتم عد النبضات المتولدة فى المشفر ومنها تحسب سرعة «الروبوت».. وكما هو موضح بالشكل رقم (١٦).. فإن كل ما يتطلبه هذا المشفر لوصله بالمعالج الدقيق هو مقاومتين تعمل

اختيار طريقة التشفير المناسبة لضمان الحصول على قراءة صحيحة.. ففي حالة استخدام التشفير الثنائى.. نجد أنه يمكن أن تحدث مشكلة فى حالة عدم تزامن المنظومة الميكانيكية مع المنظومة الالكترونية للمشفر.. وخاصة عند الانتقال من ٢٥٥ إلى صفر فى قرص ٨ بت كما هو موضح فى الشكل رقم (١٢ - أ).. حيث تتغير ٨ بت فى نفس الوقت من واحد إلى صفر عند الدوران مع عقارب الساعة.. وللتغلب على هذه المشكلة.. يستخدم تشفير «جراى» Gray Code - نسبة إلى «فرانك جراى» مخترع الطريقة بمعامل «بل» عام ١٩٥٢ - وفيه يتم السماح بتغير بت واحد فقط مع أى انتقال بين موضعين - شكل رقم (١٢ ب). ويوضح الشكل رقم (١٣) مثلاً لتشفير «جراى» وعلاقته بالتشفير الثنائى لقرص ٤ بت.

والعيب الأساسى للمشفرات المطلقة.. هو أن إشارات الخرج تكون فى صورة تواز Parallel Data O/P.. مما يتطلب وصلة بينية أكثر تعقيداً وذلك لزيادة عدد الأسلاك الكهربىة. فعلى سبيل المثال.. يتطلب مشفر مطلق ١٢ بت ٢٨ كابل توصيل (١٣ زوج لإشارات الخرج بالإضافة إلى التغذية والأرضى) على عكس المشفر التزايدى

Decimal Number	Binary Code	Gray Code	Decimal Number	Binary Code	Gray Code
0	0000	0000	8	1000	1100
1	0001	0001	9	1001	1101
2	0010	0011	10	1010	1111
3	0011	0010	11	1011	1110
4	0100	0110	12	1100	1010
5	0101	0111	13	1101	1011
6	0110	0101	14	1110	1001
7	0111	0100	15	1111	1000



شكل رقم (١٣) : علاقة تشفير 'جراى'

الحركة الأمامية أو الخلفية لمحور حركة بانورامية أو انحدارية Pan/Tilt Axis.. يمكن استخدام مفاتيح كهربية Limit Switches أو فرملة ميكانيكية لتحديد موضع مرجع للمشفر الضوئى. وبالإضافة إلى القدرة على تحديد اتجاه الدوران.. يتميز هذا المشفر بزيادة الدقة فى تعيين السرعة بالمقارنة بالمشفر أحادى القناة.

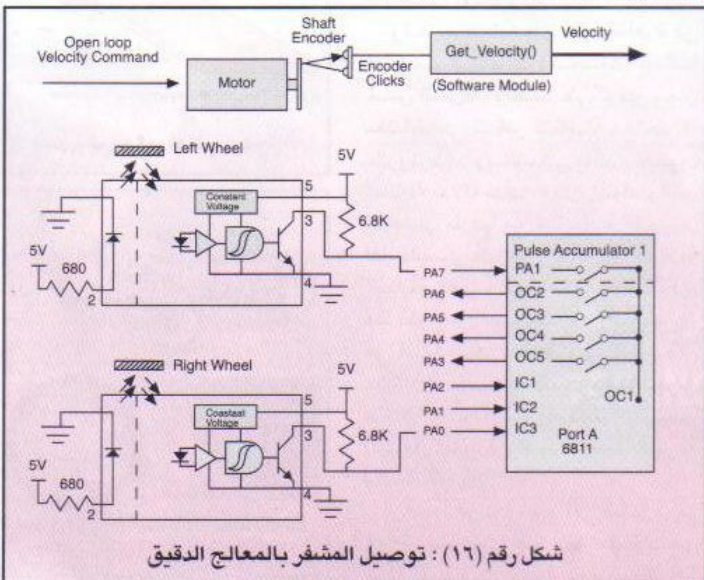
### المشفرات الضوئية المطلقة Absolute Optical Encoders

تستخدم هذه المشفرات فى منظومات التحكم منخفضة السرعة والى تتطلب معلومات عن الموضع الزاوى المطلق. وتعتمد فكرة العمل على تثبيت عدة عناصر كشفية فى صورة مصفوفة Detector Array يتم تشكيلها من وحدات خلايا جهد ضوئية Photovol-tic لاستقبال الأشعة النافذة من قرص يحتوى على أجزاء معتمة وأخرى شفافة - شكل رقم (١١). وفى هذه الحالة.. يتم الحصول على شفرة وحيدة مناظرة لكل موضع زاوى من مواضع عامود الإدارة. وعند تشكيل القرص.. يراعى

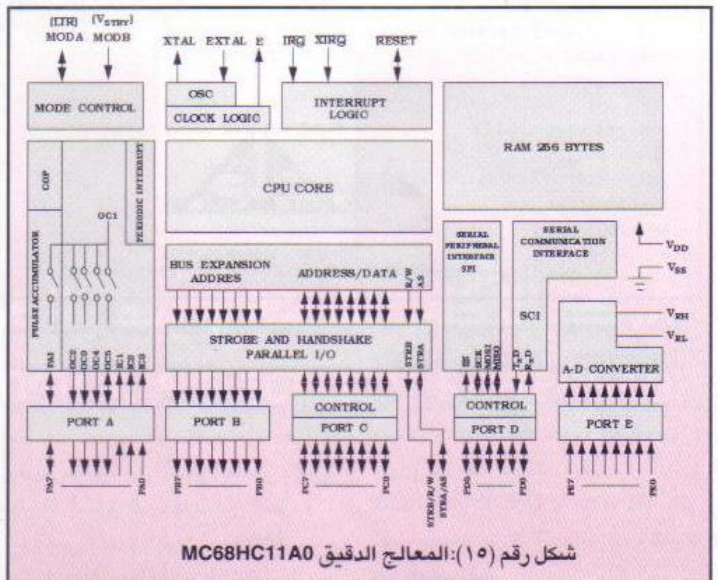
تقدم B عن A حيث يكون الاتجاه مع عقارب الساعة. يوضح الشكل رقم (٩) مخطط الحالة لدائرة المشفر التى تستقبل إشارتى دخل A و B وتولد إشارتى خرج I (Increase) أو D (Decrease) اللتين يمكنهما التحكم فى عداد المشفر.

ونظراً للطبيعة التزايدية لإشارة خرج المشفرات متعامدة الطور.. فإن الموضع الزاوى يكون منسوباً إلى مرجع معين يتم ضبطه بطرق عديدة.. بعكس المشفرات المطلقة التى لا تحتاج إلى مرجع. وفى تطبيقات الدوران المتصل تحتوى معظم المشفرات التزايدية على قناة ثالثة لإشارة خرج دليل In-dex Output تعطى قيمة عظمى High مرة واحدة عند اكتمال دورة عامود الإدارة - شكل رقم (١٠). ويتم تعيين موضع عامود الإدارة بحساب عدد النبضات ابتداءً من موضع الدليل.. من عيوب هذه الطريقة.. فقدان معلومات الموضع النسبى فى حالة انقطاع التغذية عن دائرة المشفر.

وفى حالة الدوران المحدود مثل



شكل رقم (١٦) : توصيل المشفر بالمعالج الدقيق



شكل رقم (١٥) : المعالج الدقيق MC68HC11A0



```

int PACTL = 0x1026; /* Pulse accumulator control, 8-bit reg */
int PACNT = 0x1027; /* Pulse accumulator counter, 8-bit reg */

void init_velocity() /* Initialize hardware for vel monitoring */
{ poke(PACTL, 0b01010000); /* PA7 input, enable pulse acc, */
  /* rising edge */
  poke(PACNT, 0); } /* Start with 0 measured velocity */

float get_left_vel() /* Left vel from PA7 using pulse counter */
{ float vel;
  vel = (float) peek(PACNT);
  poke(PACNT, 0); /* Reset for next call */
  return(vel); }

```

شكل رقم (١٧) : حساب سرعة العجلة اليسرى

```

TFLG1 EQU $1023 ;Timer Flag 1, 8-bit reg
ORG MAIN_START ;Origin for assembly module

subroutine_initialize_module: ;This module runs on reset
  ldd #IC3_interrupt_handler ;16-bit addr of intrpt handler
  std $FFEA ;Store in IC3 intrpt vector
  cli ;Enable interrupts generally
  rts ;Return from subroutine

variable_right_clicks: ;Create a C variable, right_clicks
  fdb 0 ;Fill double byte, 16 bits.right_clicks = 0

IC3_interrupt_handler:
  ldd variable_right_clicks
  addd #1 ;Add one more encoder count
  std variable_right_clicks
  ldaa #%00000001 ;Clear the IC3 flag by writing a one
  staa TFLG1 ;Store in TFLG1 to clear IC3 flag
  rti ;Return from interrupt

```

شكل رقم (١٨) : حساب سرعة العجلة اليمنى

```

int TCTL2 = 0x1021; /* Timer Control 2, 8-bit reg, interrupt edge */
int TMSK1 = 0x1022; /* Timer Interrupt Masks, 8-bit reg */
int TFLG1 = 0x1023; /* Timer Flags, 8-bit reg */
int PACTL = 0x1026; /* Pulse accumulator control, 8-bit reg */
int PACNT = 0x1027; /* Pulse accumulator counter, 8-bit reg */

void init_velocity() /* Call to begin vel monitoring */
{ poke(PACTL, 0b01010000); /* PA7 in, enable pulse acc, rising edge */
  poke(PACNT, 0); /* Start with 0 measured velocity */
  bit_clear(TCTL2, 0b00000010); /* IC3 interrupts on rising edges */
  bit_set(TCTL2, 0b00000001); /* IC3 interrupts on rising edges */
  bit_set(TMSK1, 0b00000001); } /* Enable only IC3 interrupts */

float get_left_vel() /* Left vel from PA7, pulse ctr */
{ float vel;
  vel = (float) peek(PACNT);
  poke(PACNT, 0); /* Reset for next call */
  return(vel); }

float get_right_vel() /* Right vel PA0 using interrupt */
{ float vel;
  vel = (float) right_clicks;
  right_clicks = 0; /* Reset for next call */
  return(vel); }

```

شكل رقم (١٩) : حساب سرعتي العجلتين اليمنى واليسرى

وبطول ٥ مم ومستشعرين من النوع Schmidt Trig- 41E925 يحتويان على 9er ويفصل المغناطيسيات عن المستشعرين مسافة ٤ مم. وهناك أنواع أخرى من هذه المستشعرات مثل الدائرة المتكاملة Panasonic DN6851 التي تعمل بجهد من ٣.٦ - ١٦ ف وتيار ٨ مللي أمبير فقط.

باستشعار وجود المجال المغناطيسي عندما يكون المغناطيس في مواجهة المستشعر. ومع حركة «الروبوت» تتولد نبضات كهربية نتيجة ظاهرة «هول» يمكن إرسالها إلى المعالج الدقيق بنفس الطريقة السابق شرحها لقياس السرعة. وفي الروبوت «Merlin».. تم استخدام ٨ مغناطيسيات بقطر ٤ مم

(١٨) لعد النبضات المتولدة في مشفر العجلة اليمنى.

ويمكن دمج البرنامجين للحصول على سرعة العجلتين اليمنى واليسرى لاستخدامهما في برنامج التحكم في السرعة لضمان حركة كلتا العجلتين بنفس السرعة في حالة الحركة الأمامية أو الخلفية - شكل رقم (١٩). ويمكن أيضاً استخدام كروت الكهرونية جاهزة مثل Handy Board تحتوي على المعالج الدقيق Motorola MC68HC11 بالإضافة إلى ذاكرة عشوائية RAM 32K وأربع إشارات خرج لمحرك تيار مستمر ومنظومة توصيل تسمح بوصل أنواع عديدة من المستشعرات.. بالإضافة إلى شاشة LCD وبطارية قابلة لإعادة الشحن. يوفر استخدام مثل هذه الكروت كثيراً من الوقت والمجهود اللازمين لبناء «روبوتات» شخصية.

### مستشعرات ظاهرة «هول» "Hall" Effect Sensors

تعتمد فكرة عمل هذه المستشعرات (المجسات) على ظاهرة «هول».. وملخصها أنه في حالة مرور تيار كهربي في موصل موضوع في مجال مغناطيسي فإن هذا المجال يؤثر بقوة عمودية على حوامل الشحنات الكهربية مما يؤدي إلى دفع هذه الشحنات إلى جانب من جوانب الموصل - للشكل رقم (٢٠). ويؤدي تراكم الشحنات الموجبة على الجانب الآخر.. إلى معادلة تأثير المجال المغناطيسي بقوة كهربية مساوية في المقدار ومضادة في الاتجاه للقوة المغناطيسية. ويعرف فرق الجهد الناتج بين جانبي الموصل بجهد «هول» - نسبة إلى مكتشف الظاهرة عام ١٨٧٩ - ويعطى بالعلاقة التالية:

$$V_H = I.B/n.e.d$$

حيث.. n : كثافة حوامل الشحنة - شحنة الاكترون.

وقد تم استغلال هذه الظاهرة في إنتاج مستشعرات (مجسات) يمكنها قياس السرعة. وتعتمد على توفير مجال مغناطيسي تتغير كثافته مع حركة «الروبوت».. وبالتالي يمكن تعيين السرعة بدلالة جهد «هول» المتولد والذي يتناسب طردياً مع كثافة الفيض المغناطيسي كما هو واضح من العلاقة السابقة. فعلى سبيل المثال.. تم استخدام هذا النوع من المستشعرات (المجسات) في قياس سرعة «الروبوت» الجوال «Merlin» حيث تم تثبيت مستشعرين في كل عجلة يقوم أحدهما بقياس المسافة المقطوعة والآخر بتحديد السرعة واتجاه الدوران.

وكما هو موضح في الشكل رقم (٢١).. يتم تثبيت عدة مغناطيسيات في عجلة «الروبوت» حيث يقوم المستشعر

إحدهما على سحب خرج المقاومة الضوئية Open - Collector O/P.. والأخرى على التحكم في التيار المار خلال «الدايود» الضوئي. ويتم توصيل مشفر العجلة اليسرى «لروبوت» بنقطة التوصيل PA7 التي تعمل كمجمع أو مركب نبضات Pulse Accumulator.. والمشفر الآخر بنقطة التوصيل PA0 المتصلة بالدائرة المتكاملة IC3 التي تعمل كمسجل Register.

للحصول على سرعة العجلة اليسرى.. نجد أن مجمع النبضات المتصل به مشفر العجلة اليسرى يحتوى على وحدتي مسجل ٨ بت PACNT و PACTL يتم استخدامهما لحساب عدد النبضات الداخلة إلى نقطة التوصيل PA7. ولتحقيق ذلك.. يمكن استخدام برنامج الـ «C» الموضح بالشكل رقم (١٧).. حيث يمكن الحصول على سرعة العجلة اليسرى باستدعاء الدالة get\_left\_vel بصورة دورية. وفي هذه الحالة.. تكون وحدة السرعة هي عدد نبضات المشفر مقسومة على الفترة الزمنية المنقضية بين استدعاءين متتابعين للدالة get\_left\_vel.

ونظراً لأن المعالج الدقيق «MC68HC11A0» يحتوى على مجمع نبضات وحيد.. فإن الحصول على سرعة العجلة اليمنى يعتبر أكثر صعوبة.. حيث يتم استخدام ثلاث مسجلات من الدائرة المتكاملة IC3 المتصلة بنقطة التوصيل PA0 وهي TCTL2, TMSK1, TFLG1.. ويتم الاستعانة بالبرنامج الفرعي المبين بالشكل رقم

